

cold adaptation is accompanied by hyperfunction of thyroid glands. Mechanisms of heat dissipation in rats of the «combined» group increase even more than those of «heat» group.

University, Ministry of Higher and Secondary Special Education of the Ukrainian SSR, Donetsk

СПИСОК ЛИТЕРАТУРЫ

1. Койранский Б. Б. Охлаждение, переохлаждение и их профилактика.—Л.: Медицина, 1966.—256 с.
2. Пастухов Ю. Ф., Хаскин В. В. Адренергический контроль термогенеза при экспериментальной и природной адаптации животных к холodu// Усп. физiol. наук.—1979, 10.—С. 121—142.
3. Россомахин Ю. И. Терморегуляция крыс при комбинированной тепловой и холодовой адаптации // Физiol. журн. СССР.—1976.—62, № 10.—С. 1518—1524.
4. Россомахин Ю. И., Певзный С. А. Изменение тепловой устойчивости крыс при различных режимах холодовой адаптации // Там же.—1981.—67, № 9.—С. 1381—1387.
5. Россомахин Ю. И., Певзный С. А. Особенности терморегуляции адаптированных к теплу крыс при воздействии холода // Физiol. журн.—1983, 29, № 1.—С. 92—96.
6. Шантала А. А. Гигиенические основы нормирования искусственного микроклимата глубоких шахт: Автореф. дис. д-ра мед. наук.—Донецк, 1967.—27 с.
7. Эрман И. М. Гигиена производственного микроклимата в горячих цехах черной металлургии: Автореф. дис. д-ра мед. наук. Киев, 1957.—24 с.
8. Cassuto J., Chayoth R., Rabit T. Thyroid hormone in heat-acclimated hamsters // Amer. J. Physiol.—1970.—218, N 5.—P. 1287—1290.
9. Géloën A., Collet A. J., Guay G., Bokowiecki L. J. β -adrenergic stimulation of brown adipocyte proliferation // Amer. J. Physiol.—1988.—254, N 1.—P. 175—182.
10. Hainsworth F. R., Stricker E. M. Salivary cooling by rats in the heat // Physiological and behavioral temperature regulation.—Springfield: Thomas, 1970.—P. 611—616.
11. Himms-Hagen J. The role of brown adipose tissue in the calorigenic effect of adrenaline and noradrenaline in cold-acclimated rats // J. Physiol.—1969.—205.—P. 393—403.
12. Janský L. Nonshivering thermogenesis and its thermoregulatory significance // Biol. Revs.—1973.—48.—P. 85—132.
13. Leblanc J., Villemaire A. Thyroxine and noradrenaline sensitivity cold resistance and brown adipose tissue of the rats // Amer. J. Physiol.—1970.—218, N 6.—P. 1742—1745.
14. Sellers E. A., Flattery K. V., Shum A., Johnson G. E. Thyroid status in relation to catecholamines in cold and warm environment // Canad. J. Physiol. and Pharmacol.—1971.—49.—P. 268—275.
15. Smith R. E., Horwitz B. A. Brown fat and thermogenesis // Physiol. Rev.—1969.—49, P. 330—425.

Донецк, ун-т М-ва высш. и сред. спец. образования УССР

Материал поступил в редакцию 20.10.90

УДК 612.127.2:612.111.11/13:612.57

В. В. Зинчук, М. В. Борисюк

Роль кислородсвязывающих свойств гемоглобина в генезе кислородной недостаточности при острой экзогенной гипертермии

В эксперименте на 25 беспородных кроликах, у которых создавали острую экзогенную гипертермию, исследовали кислотно-основной баланс, кислородсвязывающие свойства гемоглобина смешанной венозной крови. Показано повышение сродства гемоглобина к кислороду при стандартных значениях pH , pCO_2 и температуры, что в значительной мере ослабляет эффект температуры на взаимодействие кислорода и гемоглобина. Обнаружено увеличение константы Бора. Обсуждаются механизмы изменения кислородсвязывающих свойств гемоглобина и их роль в генезе возникающей кислородной недостаточности.

© В. В. ЗИНЧУК, М. В. БОРИСЮК, 1991

Введение

Глубокое перегревание при дыхании, кровообращении кишечного, углеводного и лигатурованного уровня клеточных биопсий определяется количеством АТФ митохондрий [8], что обуславливает кислорода и, в тканями. Формируется иром развивается несоответствием потребностью в недостаточность. Это под влиянием продуктов анаэробного метаболического ацидоза, венозной крови при перегипоксии остается еще по-

Результаты анализанию механизмов транспортуры внешней среды, особенностям функционирования [1, 7, 8, 10]. Сдвиги, в изменяют условия циркуляции ее кислородтранспортирующих свойств гипоксии при экзогенной и определялась динамика маглобина, числа эритроцитов.

Вопрос о состоянии перегревания всего организма [7], но экспериментально э

Методика

Исследования проводили разнополых кроликах машины гипертермии достигали в воздуха температурой 60—2—3 °C, после чего температуру тела измеряли температурой Движения животного при пректальную температуру. Опыты выполняли через 1 под эфирным наркозом, в вену вводили катетер в венозную кровь. Пробы крови под воздействием, в конце определение средства гепаринателю P_{50} методом смешивания. Значение P_{50} при стандартной температуре определяли из кривых диссоциации гемоглобина Хилла. Эффект Бора исследованием оксигемоглобином на физиологии кривой pO_2 от pH расстояния и параметры кислородомикроанализаторе ВМ центрацию 2,3-ДФГ определялись

Введение

Глубокое перегревание приводит к существенным изменениям внешнего дыхания, кровообращения, выделения и других систем, а также белкового, углеводного и липидного обмена. Происходят глубокие сдвиги на уровне клеточных биоэнергетических процессов, отмечается разобщение окислительного фосфорилирования и тканевого дыхания, уменьшается количество АТФ, т. е. угнетается синтезирующая функция митохондрий [8], что обуславливает снижение эффективности использования кислорода и, вследствие этого, нарушение его потребления тканями. Формируется иной кислородный режим организма, при котором развивается несоответствие между поступаемым в ткани кислородом и потребностью в нем, в результате чего возникает кислородная недостаточность. Это подтверждается данными о повышении содержания продуктов анаэробного обмена в различных тканях, о развитии метаболического ацидоза, снижении остаточной оксигенации смешанной венозной крови при перегревании [5, 7, 10, 13]. Патогенез тепловой гипоксии остается еще полностью не раскрытым.

Результаты анализа литературных данных, посвященных состоянию механизмов транспорта кислорода при действии высокой температуры внешней среды, показывают, что подробно и глубоко изучены особенности функционирования внешнего дыхания и кровообращения [1, 7, 8, 10]. Сдвиги, возникающие в сердечно-сосудистом аппарате, изменяют условия циркуляции крови, что приводит к адаптивной перестройке ее кислородтранспортной функции [2]. Однако состояние кислородсвязывающих свойств гемоглобина и их роль в возникновении гипоксии при экзогенной гипертермии исследованы недостаточно, хотя и определялась динамика pO_2 , насыщения $O_2(SO_2)$, концентрации гемоглобина, числа эритроцитов [8, 13].

Вопрос о состоянии сродства гемоглобина к кислороду при перегревании всего организма обсуждался различными авторами [1, 3, 5, 7], но экспериментально этот показатель не изучали.

Методика

Исследования проводили в условиях острого опыта на 25 беспородных разнополых кроликах массой 2,2–2,5 кг. Моделирования экзогенной гипертермии достигали нагреванием животного постоянным потоком воздуха температурой 60–65 °С до повышения температуры тела на 2–3 °С, после чего температуру воздушного потока понижали, поддерживая температуру тела на достигнутом уровне в течение 30–40 мин. Движения животного при этом не ограничивались. Регистрировали ректальную температуру с помощью электротермометра ТПЭМ-01. Опыты выполняли через 1 ч после операционной подготовки животных под эфирным наркозом, в результате которой через наружную яремную вену вводили катетер в правое предсердие для забора смешанной венозной крови. Пробы крови забирали непосредственно перед тепловым воздействием, в конце его и через 1 и 4 ч после его прекращения. Определение сродства гемоглобина к кислороду оценивали по показателю P_{50} методом смешивания в модификации Sheld и Meyer [14]. Значение P_{50} при стандартных и реальных значениях pH , pCO_2 и температуры определяли по уравнениям Severinghays [15]. Построение кривых диссоциации оксигемоглобина осуществляли по уравнению Хилла. Эффект Бора исследовали титрованием образца крови с содержанием оксигемоглобина около 50 % 0,1 н раствором HCl, приготовленным на физиологическом растворе. На основании полученной кривой « pO_2 от pH » рассчитывали константы Бора. Газовые параметры и параметры кислотно-основного баланса крови измеряли на микрогазоанализаторе BMS3MK2 (фирма Radiometer, Дания), концентрацию 2,3-ДФГ определяли неэнзиматическим методом [11]. Содержание

thyroid glands. Mechanisms of heat even more than those of «heat»

и их профилактика.—Л.: Меди-
контроль термогенеза при экспери-
ментальной // Усп. физiol. наук.—1979,
шированной тепловой и холодовой
10.—С. 1518–1524.

той устойчивости крыс при раз-
—1981.—67, № 9.—С. 1381–1387.
терморегуляции адаптированных к
кур. —1983, 29, № 1.—С. 92–96.
ния искусственного микроклимата
цент, 1967.—27 с.
матта в горячих цехах. черной
57.–24 с.
heat-acclimated hamsters // Amer.

β -adrenergic stimulation of brown
54, N 1.—P. 175–182.
by rats in the heat // Physiological
Id: Thomas, 1970.—P. 611–616.
n the calorogenic effect of adrena-
physiol.—1969.—205.—P. 393–403.
ermoregulatory significance // Biol.

sensitivity cold resistance and
—1970.—218, N 6.—P. 1742–1745.
E. Thyroid status in relation to
ad. J. Physiol. and Pharmacol.—

genesis // Physiol. Rev.—1969.—49,

Материал поступил
в редакцию 20.10.90

глобина

ли кислотно-основной ба-
бина смешанной венозной
лобина к кислороду при
туры, что в значительной
имодействие кислорода и
анты Бора. Обсуждаются
войств гемоглобина и их
стичности.

жение сульф- и метгемоглобина измеряли на спектрофотометре СФ-46. Полученные результаты обрабатывали статистически с помощью критерия t Стьюдента.

Результаты и их обсуждение

Изменение кислотно-основного баланса крови при температуре 37 °С (табл. 1) к концу теплового воздействия проявляется в недостоверном сдвиге рН от $7,336 \pm 0,039$ до $7,379 \pm 0,061$ при падении pCO_2 до $(30,1 \pm 0,7)$ мм рт. ст. и исходном уровне $(36,7 \pm 0,8)$ мм рт. ст. Однако повышение ректальной температуры от $(38,6 \pm 0,24)$ до $(41,9 \pm 0,29)$ °С нивелирует этот сдвиг рН. В реальных условиях его значение составляет к концу теплового воздействия $7,297 \pm 0,016$. В дальнейшем в

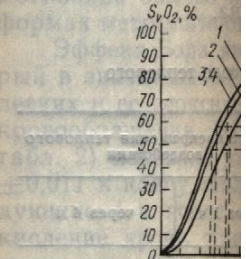
Таблица 1. Ректальная температура, pO_2 и параметры кислотно-основного баланса крови у кроликов до и после теплового воздействия ($M \pm m$; $n=25$)

Показатель	До теплового воздействия	К концу теплового воздействия	После прекращения теплового воздействия	
			через 1 ч	через 4 ч
Ректальная температура, °C	$38,6 \pm 0,24$	$41,9 \pm 0,29$	$40,4 \pm 0,12$	$39,2 \pm 0,40$
Напряжение кислорода, мм рт. ст.:				
при стандартной температуре (37°C)	$34,7 \pm 1,25$	$26,34 \pm 0,88^*$	$27,35 \pm 0,89^*$	$33,38 \pm 1,34$
при реальной температуре	$38,7 \pm 1,17$	$36,8 \pm 0,93$	$34,3 \pm 1,36^*$	$39,2 \pm 1,55$
Показатель водородных ионов, 1:				
при стандартной температуре (37°C)	$7,336 \pm 0,039$	$7,379 \pm 0,061$	$7,290 \pm 0,041^*$	$7,278 \pm 0,058^*$
при реальной температуре	$7,309 \pm 0,012$	$7,297 \pm 0,016$	$7,231 \pm 0,017^*$	$7,248 \pm 0,016^*$
Напряжение углекислого газа, мм рт. ст.:				
при стандартной температуре (37°C)	$36,7 \pm 0,78$	$30,1 \pm 0,73^*$	$30,2 \pm 0,77^*$	$34,1 \pm 0,51^*$
при реальной температуре	$40,2 \pm 0,83$	$38,1 \pm 1,06$	$35,5 \pm 1,20^*$	$38,1 \pm 0,72^*$
Дефицит (концентрация) буферных оснований, ммоль/л	$-5,55 \pm 0,80$	$-6,54 \pm 0,93$	$-11,56 \pm 0,94^*$	$-10,59 \pm 0,82^*$
Стандартный бикарбонат (концентрация), ммоль/л	$19,84 \pm 0,69$	$19,27 \pm 0,84$	$15,81 \pm 0,72^*$	$16,67 \pm 0,71^*$

Примечание. Здесь и в табл. 2 звездочкой обозначены статистически достоверные различия ($P < 0,05$).

связи с накоплением недоокисленных продуктов обмена (пирувата, лактата) и истощением резервов организма реальное pH крови смещается в сторону ацидоза: к концу 1-го часа после окончания теплового воздействия его значение составляет $7,231 \pm 0,017$. Параллельно с этим отмечается снижение содержания стандартного бикарбоната до $(15,81 \pm 0,72)$ ммоль/л и увеличение дефицита буферных оснований до $(11,56 \pm 0,94)$ ммоль/л. К концу 4-го часа обнаруживается некоторое снижение декомпенсированного метаболического ацидоза: pH — $7,248 \pm 0,016$; BB — $(10,59 \pm 0,82)$ ммоль/л; SB — $(16,67 \pm 0,71)$ ммоль/л. Действие этого фактора внешней среды приводит к снижению pO_2 смешанной венозной крови при температуре 37°C (см. табл. 1) от $(34,7 \pm 1,25)$ до $(26,3 \pm 0,88)$ мм рт. ст., которое практически не изменяется через час ($27,4$ мм рт. ст. $\pm 0,89$ мм рт. ст.) и возвраща-

ется к исходному з
ния теплового возд
известно, увеличени
да, что обуславлива
значение реального
 $\pm 1,17$) мм рт. ст.
 $\pm 1,36$) мм рт. ст.
ется таким же, хот



Кривые диссоциации окс рН, pCO_2 и температуры.

метаболического ациклического основного метаболического ациклического достаточности, что с никновении теплово [5, 7, 10, 13].

Результаты иссле-
шанной венозной кр-
ке. Показано, что к-
ных (рисунок, а) с-
ратура 37,0 °С) сдви-
(1 — исходная, 2 —
лового воздействия
напряжение кислор-
кислородом), а знач-
лороду, при этом у-
глубина к кислород-
торной сети. При п-
с различным сродст-
шение потребления
 P_{50} от 32,6 до 16,9 м-

Изменение реал-
вествии с тем, что
няется pH крови, р-
рактер (см. табл. 2
(рисунок, б — обозн-
действия ($P_{50} = 42,7$
относительно ее исх-
рт. ст.). Через 1
практически возвра-
смещается влево (Р
анализа значений по
и температуры свид-
кислороду при этом
факторами, но и нек-

этот механизм, та температуры на гипертермии, может

спектрометре СФ-46. практически с помощью критерия

и при температуре 37 °C является в недостоверном падении pCO_2 до $(30,1 \pm 0,8)$ мм рт. ст. Однако $\pm 0,24$ до $(41,9 \pm 0,29)$ °C виях его значение составляет $-0,016$. В дальнейшем в

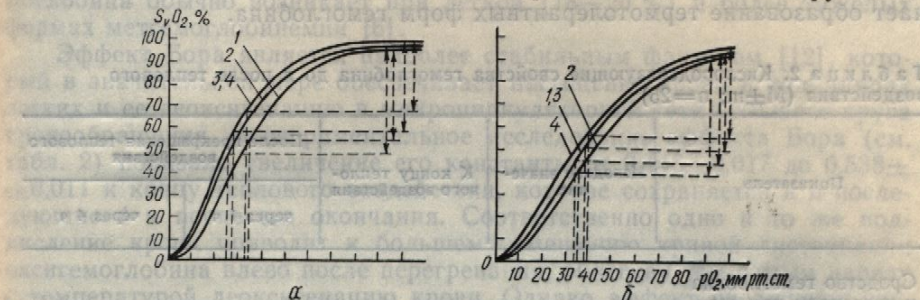
после теплового воздействия

После прекращения теплового воздействия

	через 1 ч	через 4 ч
40,4 ± 0,12	39,2 ± 0,40	
27,35 ± 0,89*	33,38 ± 1,34	
34,3 ± 1,36*	39,2 ± 1,55	
7,290 ± 0,041*	7,278 ± 0,058*	
7,231 ± 0,017*	7,248 ± 0,016*	
30,2 ± 0,77*	34,1 ± 0,51*	
35,5 ± 1,20*	38,1 ± 0,72*	
-11,56 ± 0,94*	-10,59 ± 0,82*	
15,81 ± 0,72*	16,67 ± 0,71*	

ны статистически достоверные
кторов обмена (пирувата, реальное pH крови смешанной венозной и артериальной крови) и показателей кислотно-основного баланса (pH, SB, BE). Показатели кислотно-основного баланса и сдвиги обмена (появление метаболического ацидоза) после окончания теплового воздействия (37 °C, 30 мин) и возвращения к исходному состоянию определяются практически одинаково. Показатели кислотно-основного баланса и сдвиги обмена (появление метаболического ацидоза) после окончания теплового воздействия (37 °C, 30 мин) и возвращения к исходному состоянию определяются практически одинаково.

ется к исходному значению лишь к концу 4-го часа после прекращения теплового воздействия ($33,4 \text{ мм рт. ст.} \pm 1,34 \text{ мм рт. ст.}$). Как известно, увеличение температуры уменьшает растворимость кислорода, что обусловливает при неизменном его содержании более высокое значение реального pO_2 . Исходное значение pO_2 составляет $(38,7 \pm 1,17)$ мм рт. ст., а самое низкое — к концу 1-го часа — $(34,3 \pm 1,36)$ мм рт. ст. В целом характер изменения реального pO_2 остается таким же, хотя снижение менее выражено. Данные о нарушении



Кривые диссоциации оксигемоглобина при стандартных (a) и реальных (б) значениях pH, pCO_2 и температуры.

метаболического ацидоза и снижения pO_2 смешанной венозной крови кислотно-основного баланса с преобладанием декомпенсированного метаболического ацидоза свидетельствуют о развитии кислородной недостаточности, что соответствует существующим представлениям о возникновении тепловой гипоксии при глубокой экзогенной гипертермии [5, 7, 10, 13].

Результаты исследования сродства гемоглобина к кислороду смешанной венозной крови до и после перегревания приведены на рисунке. Показано, что кривая диссоциации оксигемоглобина при стандартных (рисунок, a) значениях ($pH 7,4$, $pCO_2 = 40$ мм рт. ст. и температура $37,0$ °C) сдвинута влево относительно исходного ее положения (1 — исходная, 2 — к концу теплового воздействия, 3, 4 — после теплового воздействия через 1 и 4 ч соответственно; по оси абсцисс — напряжение кислорода, по оси ординат — насыщение венозной крови кислородом), а значение P_{50} , показателя сродства гемоглобина к кислороду, при этом уменьшается (табл. 2). Повышение сродства гемоглобина к кислороду затрудняет десатурацию крови в микроциркуляторной сети. При перфузии изолированного крольчего сердца кровью с различным сродством гемоглобина к кислороду наблюдалось уменьшение потребления кислорода на 30 % за счет уменьшения значения P_{50} от 32,6 до 16,9 мм рт. ст. [9].

Изменение реального сродства гемоглобина к кислороду, в соответствии с тем, что при перегревании повышается температура, изменяется pH крови, развивается гипокапния, носит более сложный характер (см. табл. 2). Реальная кривая диссоциации оксигемоглобина (рисунок, б — обозначения те же, что на a) к концу теплового воздействия ($P_{50} = 42,7$ мм рт. ст. $\pm 0,77$ мм рт. ст.) смещается вправо относительно ее исходного положения ($P_{50} = 39,1$ мм рт. ст. $\pm 0,64$ мм рт. ст.). Через 1 ч после прекращения теплового воздействия она практически возвращается на исходное место, а к концу 4-го часа смещается влево ($P_{50} = 37,1$ мм рт. ст. $\pm 0,61$ мм рт. ст.). Результаты анализа значений показателя P_{50} при стандартных значениях pH, pCO_2 и температуры свидетельствуют о том, что сродство гемоглобина к кислороду при этом состоянии определяется не только указанными факторами, но и неким дополнительным механизмом.

Этот механизм, обеспечивающий некоторую компенсацию эффекта температуры на взаимодействие гемоглобина с кислородом при гипертермии, может осуществляться либо переключением синтеза гемоглобина.

моглобина на образование его термотолерантных форм, либо через изменение соотношения аллостерических эффекторов [17]. Первый способ представляется невозможным, так как при сравнительно непродолжительном перегревании, как в нашем эксперименте, морфогенетическая смена синтеза различных типов гемоглобина не может проявляться. Значения P_{50} , приведенные к одинаковым условиям рН, pCO_2 и температуры, в пробах крови до и после перегревания существенно не различались бы. Однако значения P_{50} различаются, что исключает образование термотолерантных форм гемоглобина.

Таблица 2. Кислородсвязующие свойства гемоглобина до и после теплового воздействия ($M \pm m$; $n=25$)

Показатель	Исходное значение	К концу теплового воздействия	После прекращения теплового воздействия	
			через 1 ч	через 4 ч
Сродство гемоглобина к кислороду при стандартных условиях	$32,4 \pm 0,47$	$29,2 \pm 0,51^*$	$28,4 \pm 0,48^*$	$28,6 \pm 0,47^*$
Сродство гемоглобина к кислороду при реальных условиях	$39,1 \pm 0,64$	$42,7 \pm 0,73^*$	$38,9 \pm 0,79$	$37,1 \pm 0,61^*$
Концентрация 2,3-ДФГ, мкмоль/мл эритроцитов	$6,31 \pm 0,69$	$4,13 \pm 0,69$	$3,54 \pm 0,59$	$4,51 \pm 0,44$
Константа Бора	$0,446 \pm 0,017$	$0,538 \pm 0,011$	$0,521 \pm 0,13$	$0,542 \pm 0,014$

Внутриэритроцитарная система регуляции сродства гемоглобина к кислороду, обладающая относительной автономией, в значительной мере обеспечивает адаптационное изменение кислородсвязующих свойств гемоглобина [2]. В этой системе функцию триггера аллостерической регуляции гликолиза и своеобразного аппарата сравнения соответствия метаболизма функциональному статусу выполняет 2,3-ДФГ. Как известно, этот органический фосфат оказывает на сродство гемоглобина к кислороду существенное влияние. К концу теплового воздействия отмечается уменьшение концентрации 2,3-ДФГ от $(6,31 \pm 0,69)$ до $(4,13 \pm 0,69)$ мкмоль/мл эритроцитов (см. табл. 2), которая сохраняется и в последующие 4 ч. Очевидно, это связано с изменением рН в сторону ацидоза и активацией 2,3-ДФГ реакции в гликолитических процессах эритроцитов. Уменьшение содержания 2,3-ДФГ обусловливает повышение сродства гемоглобина к кислороду. За счет уменьшения концентрации этого лиганда эффект повышения температуры на сродство гемоглобина к кислороду в значительной мере компенсируется. Экспериментально измеренные кривые диссоциации оксигемоглобина к концу теплового воздействия и после его окончания смешены влево относительно кривых диссоциации оксигемоглобина, построенных с учетом влияния только рН, pCO_2 и температуры. Значение ΔP_{50} между ними к концу действия горячего воздуха составляет $(4,2 \pm 0,56)$ мм рт. ст., а через 1 ч — $(6,2 \pm 0,79)$ мм рт. ст.

Кислородсвязующие свойства гемоглобина зависят от сульф- и метгемоглобинообразования. Проведена серия опытов (14 животных) с целью определения изменений содержания этих дериватов гемоглобина на различных стадиях перегревания. Содержание метгемоглобина до перегревания составило $0,54 \% \pm 0,15 \%$, что сопоставимо с данными, приводимыми в литературе для крови кролика [4], и достоверно изменилось лишь к концу 4-го часа после теплового воздействия $(1,13 \% \pm 0,21 \%, P < 0,05)$. Содержание сульфгемоглобина в крови практически не изменилось. Такое повышение содержания метгемоглобина не соответствует даже «бессимптомной» метгемоглобинемии, при которой количество этого деривата гемоглобина колеблется в

пределах 5—15 %, обусловленное, что активация недоокисленных форм гемоглобина приводит к спонтанному деминерализации и снижению содержания метгемоглобина. Концентрацией гемоглобина в сыворотке крови метгемоглобина обычно возникает в пределах 5—15 %.

Эффект Бора является в значительной мере обусловлен легкими и ее деоксигенацией кровообращения. Экспериментальный материал (табл. 2) показал, что концентрация ΔP_{50} к концу теплового воздействия $(4,2 \pm 0,56)$ мм рт. ст. через 4 ч после его окончания приводит к повышению концентрации оксигемоглобина в сыворотке крови с $28,6 \pm 0,47^*$ до $37,1 \pm 0,61^*$ мкмоль/мл. Повышение константы Бора, построенная в экспериментах на концентрации теплового воздействия, определяется состоянием сыворотки крови, но и состоянием константы Бора.

Таким образом, влажность гемоглобина к кислороду различным образом. Повышение концентрации кислорода в сыворотке крови и снижение концентрации кислорода в тканях. Это происходит за счет метаболической активности эритроцита, а за счет повышения концентрации кислородсвязывающих белков сыворотки крови снижается восстановление перергидратации.

Анализируя вышеупомянутые гипертермии и связанные с ними изменения кислородсвязывающих свойств гемоглобина, можно сделать вывод, что для десатурации крови играет существенную роль.

V. V. Zinchuk, M. V. Borisov
ROLE OF OXYGEN-BINDING PROTEINS IN THE DEVELOPMENT OF HYPERTERMIA DURING ACUTE ENVIRONMENTAL STRESS

Acid-base balance and oxygen affinity of hemoglobin have been studied in 25 mongrel dogs during hypertermia induced by heat exposure. It was shown that the decrease in oxygen affinity of hemoglobin at the end of heating was accompanied by a decrease in the concentration of 2,3-diphosphoglycerate in erythrocytes. After cooling, the oxygen affinity of hemoglobin increased and the concentration of 2,3-DPG decreased. The increase in oxygen affinity of hemoglobin after cooling was accompanied by a decrease in the concentration of carboxyhemoglobin in erythrocytes. The increase in oxygen affinity of hemoglobin after cooling was accompanied by a decrease in the concentration of carboxyhemoglobin in erythrocytes. The increase in oxygen affinity of hemoglobin after cooling was accompanied by a decrease in the concentration of carboxyhemoglobin in erythrocytes.

ISSN 0201-8489. Физиология и экспериментальная медицина. 1991. Т. 37. № 3

тных форм, либо через факторов [17]. Первый при сравнительно немногом эксперименте, морфогемоглобина не может никаким условиям рН, где перегревания существенно различаются, что исключает гемоглобина.

до и после теплового

После прекращения теплового воздействия

через 1 ч через 4 ч

$28,4 \pm 0,48^*$ $28,6 \pm 0,47^*$

$38,9 \pm 0,79$ $37,1 \pm 0,61^*$

$3,54 \pm 0,59$ $4,51 \pm 0,44$
 $0,521 \pm 0,13$ $0,542 \pm 0,014$

средства гемоглобина номией, в значительной степени кислородсвязывающих кции триггера аллостерического аппарата сравнения у статусу выполняет фат оказывает на средление. К концу теплопротермии 2,3-ДФГ от цитов (см. табл. 2), конечно, это связано с тем, что 2,3-ДФГ реакции в меньшем содержании гемоглобина к кислороду. Тогда эффект повышения кислороду в значительной степени кривые диссоциации и после его окончания оксигемоглобина, pCO_2 и температуры. Я горячего воздуха составляет $(6,2 \pm 0,79)$ мм рт. ст.

зависят от сульф и опытов (14 животных) тих дериватов гемоглобина содержание метгемоглобина %, что сопоставимо с кролика [4], и достоинство теплового воздействия гемоглобина в крови в содержания метгемоглобина в метгемоглобинемии, гемоглобина колеблется в

ол. журн. 1991. Т. 37. № 3

пределах 5—15 % общего количества гемоглобина [6]. Необходимо подчеркнуть, что активация редуктазной системы эритроцитов и накопление недоокисленных продуктов обмена (лактата, пирувата) инициируют спонтанную деметгемоглобинезацию [16]. В условиях перегревания это препятствует метгемоглобинообразованию. Наблюдающееся повышение содержания метгемоглобина слишком мало в сравнении с общей концентрацией гемоглобина, чтобы оказывать значительное влияние на сродство гемоглобина к кислороду. Сдвиг кривой диссоциации оксигемоглобина обычно возникает при легкой (18—20 %) и более тяжелых формах метгемоглобинемии [6].

Эффект Бора является наиболее стабильным фактором [12], который в значительной мере обеспечивает насыщение крови в капиллярах легких и ее деоксигенацию в микроциркуляторной сети большого круга кровообращения. Экспериментальное исследование эффекта Бора (см. табл. 2) показало увеличение его константы от $0,446 \pm 0,017$ до $0,538 \pm 0,011$ к концу теплового воздействия, которое сохраняется и в последующие 4 ч после его окончания. Соответственно одно и то же подкисление крови приводит к большему смещению кривой диссоциации оксигемоглобина влево после перегревания, облегчая тем самым наряду с температурой деоксигенацию крови. Однако эффект увеличения значения этого параметра на десатурацию крови в капиллярах не столь значителен, как повышение температуры или уменьшение концентрации 2,3-ДФГ. Наибольшая разница P_{50} между кривыми диссоциации оксигемоглобина, построенными по постоянным и изменяющимся значениям константы Бора, составляет $(1,5 \pm 0,22)$ мм рт. ст. к концу 4-го часа окончания теплового воздействия. Проявление эффекта Бора при этом состоянии определяется не только изменением рН крови, которая в наших экспериментах варьирует в зависимости от меры перегревания, но и состоянием механизмов эффекта, увеличивающих константу Бора.

Таким образом, влияние прямых и косвенных модуляторов сродства гемоглобина к кислороду при экзогенной гипертермии проявляется различным образом. Повышение температуры, эффект Бора сдвигают кривую диссоциации оксигемоглобина вправо, а развивающаяся гипокапния и снижение концентрации 2,3-ДФГ в эритроцитах смещают ее влево. Смещение кривой диссоциации оксигемоглобина влево вследствие уменьшения синтеза 2,3-ДФГ не способствует лучшей отдаче кислорода тканям. Его поступление в этом случае достигается не за счет метаболической модификации свойств гемоглобина на уровне эритроцита, а за счет повышения температуры и эффекта Бора. Изменение кислородсвязывающих свойств крови в последующем на фоне нормальной температуры снижает ее способность деоксигенироваться и не способствует восстановлению недостатка кислорода, возникающего при гипертермии.

Анализируя вышеизложенное, можно сделать вывод, что при экзогенной гипертермии развиваются специфические изменения кислородсвязывающих свойств крови, направленных в целом на ухудшение условий для десатурации крови на уровне капиллярного русла, что, несомненно, играет существенную роль в генезе тепловой гипоксии.

V. V. Zinchuk, M. V. Borisuk

ROLE OF OXYGEN-BINDING HEMOGLOBIN PROPERTIES IN THE DEVELOPMENT OF OXYGEN DEFICIENCY DURING ACUTE ENVIRONMENTAL HYPERTERMIA

Acid-base balance and oxygen-binding hemoglobin properties in mixed venous blood have been studied in 25 mongrel rabbits with acute environmental hyperthermia. As oxygen-hemoglobin affinity at standard pH, pCO_2 , and temperature increases, the effect of heat on oxygen-hemoglobin interaction is considerably attenuated. The Bohr effect increases.

The mechanisms of changes in oxygen-binding properties of hemoglobin and their role in development of oxygen deficiency are discussed.

Medical Institute, Ministry of Public Health
of the Byelorussian SSR, Grodno

СПИСОК ЛИТЕРАТУРЫ

1. Ажаев А. Н. Физиолого-гигиенические аспекты действия высоких и низких температур.— М. : Наука, 1979.— 260 с.
 2. Борисюк М. В. Особенности регуляции кислородсвязывающих свойств крови в процессе ее циркуляции // Усп. физiol. наук.—1984.—15, № 2.— С. 3—26.
 3. Дворецкий Д. П., Ткаченко Б. И. Гемодинамика в легких.— М. : Медицина, 1987.— 287 с.
 4. Дубинина Е. Е., Данилова Л. А., Ефимова Л. Ф. и др. Активность супероксиддисмутазы и содержание метгемоглобина в эритроцитах человека и животных // Журн. эволюц. биохимии и физиологии.—1988.— № 2.— С. 171—175.
 5. Ней Ле Ван, Кеериг Ю. Ю. Роль гипоксического фактора при повышенной температуре и возможные механизмы его развития // Физиол. журн. СССР.—1980.— № 6.— С. 908—913.
 6. Середенко М. М., Дударев В. П., Лановенко В. И. и др. Механизмы развития и компенсации геометрической гипоксии.— Киев : Наук. думка, 1987.— 200 с.
 7. Середенко М. М., Мойбенко А. А., Миняйленко Т. Д. и др. Оксигенация крови в легких и особенности развития гипоксического состояния при гипертермии // Физиол. журн. СССР.—1988.—74, № 7.— С. 987—994.
 8. Султанов Ф. Ф. Гипертермия.— Ашхабад : ІЛым, 1978.— 224 с.
 9. Apstein C. S., Dennis R. C., Briggs L., et al. Effect of erythrocyte storage and oxygen-moglobin affinity changes on cardiac function // Amer. J. Physiol.—1985.— 248, N 17.—P. 508—515.
 10. Bianca W. The effect of thermal stress on the acid base balance the Axrs fire catt // J. Agric. Sci.—1955.— 45.— P. 280—420.
 11. Dyce B. J., Bessman S. P. A rapid nonenzymatic assay for 2,3—DPG in multiple specimens of blood // Arch. Environ. Health.—1973.—27.— P. 112—115.
 12. Dubois A. N., Gorenberg D. In vivo measurement of the Bohr shift // Respiratory Adapt., Centenary Symp., Srinagar, Kashmir, 1974.— Delhi, 1977.— P. 88—91.
 13. Frankel H. M., Ellis J. P., Cain S. M. Development of tissue hypoxia during progressive hyperthermia in dogs // Amer. J. Physiol.—1963.—205, N 4.— P. 733—737.
 14. Sheld P., Meyer M. Mixing technique for study of oxygenthemoglobin equilibrium: a critical evaluation // J. Appl. Physiol.—1978.— 45, N 5.— P. 616—622.
 15. Severinghaus J. M. Blood gas calculator // Ibid.—1966.—21, N 5.— P. 1108—1116.
 16. Teisseire B. P., Soulard C. D., Teisseire L. J. et al. Induced low P_{50} in anaesthetised rats: blood gas, circulatory and metabolic adjustments // Respir. Physiol.—1984.—58, N 3.— P. 335—344.
 17. Willford D. C., Hill E. P. Modest effects of temperature on the porcine oxygen dissociation curve // Ibid.—1986.—64, N 2.— P. 113—123.

Гроднен. мед. ин-т
М-ва здравоохранения БССР

Материал поступил
в редакцию 29.06.90

VULK 616-003.06-612.273

Е. Б. Манухина, А. В. Дащин, Ф. З. Морозен

Влияние адаптации к периодической гипоксии на постинфарктное падение давления и гиперактивацию эндотелия

Острый стресс, сопровождающий экспериментальный инфаркт миокарда, вызывает гиперактивацию эндотелия аорты крысы. Эта гиперактивация проявляется в усилении ингибирующего влияния на вызванные норадреналином сокращения гладкой мышцы и увеличении эндотелий-зависимого расслабления, коррелирующего с падением артериального давления. Предварительная адаптация животных к гипобарической гипоксии в условиях барокамеры в значительной мере предупреждает стрессорную гиперактивацию эндотелия и благоприятно влияет на постинфарктную динамику артериального давления.

© Е. Б. МАНУХИНА, А. В. ЛАПШИН, Ф. З. МЕРСОН, 1991

98

ISSN 0201-8489. Физиол. журн. 1991. Т. 37, № 3

Введение

Известно, что резкое снижение кардио-васкулярного тонуса (АД) и, в конечном счете, кардиогенный шок [15]. Важную роль играет эндотелий и экзогенных агентов вазодилатации. При различных патологических состояниях, характеризующихся нарушением проявления и высвобождения эндотелиальных релаксирующих факторов (EDRF), развивается расслабления сосудов, что способствует развитию вазоспазма [5, 6], что стресс, сопровождающий кардиогенный шок (ЭИМ), вызывает зависимых реакций изолированного подавления сократительной способности (НА) и увеличении ЭЗР сопровождалось значительными изменениями в функции эндотелия на фоне гипертонии и инфаркта миокарда у человека.

В работе предпринят быточную активацию функций адаптации животных к персии, которая является эффективных и ишемических повре-

Методика

Опыты были проведены на 300 г. Животные были ракрысы (контроль), 2-я — адаптированные к гипоксии адаптации. Адаптацию в барокамере на высоту до 1-е сутки животных «2000 м и т. д. до 5000 м. ских воздействий. Животные сеанса адаптации. ЭИМ в перевязкой передней нисходящей декапитировали ч время наблюдается максимум [6]. АД измеряли непрямым способом с помощью Physiograph D. Приготовление кольцевого щений проводили по ране тактного и деэндотелизированного с помощью двухкассетного, Италия). Сокращение камеры НА (10^{-8} — $5 \cdot 10^{-7}$ см) эндотелия на сокращение «эффект» после удаления эндотелия площади под кривой сокращенного и интактного препарата определяли как величину, K_d комплекса НА — адреналином наименьших квадратов.

ISSN 0201-8489. Физиол. журн.